

```
In [15]: import functools

import cvxpy as cvx
import numpy as np
import cvxopt

import matplotlib.pyplot as plt
from matplotlib import collections as mc
import seaborn as sns

plt.rc("text", usetex=True)

%matplotlib notebook
%autosave 15
```

Autosaving every 15 seconds

Задача 1

Для следующей задачи

$$\begin{aligned} \min_{\mathbf{x} \in \mathbb{R}^n} & \frac{1}{2} \mathbf{x}^\top \mathbf{x} + \mathbf{c}^\top \mathbf{x} \\ \text{s.t.} & \mathbf{Ax} \leq \mathbf{b} \end{aligned}$$

где $\mathbf{A} \in \mathbb{R}^{m \times n}$ — плотная матрица, предложить эффективный метод решения системы в методе Ньютона на шаге барьерного метода. Рассмотреть два случая: $m \ll n$ и $n \ll m$.

Решение: Вначале вспомним, где, как и почему в барьерном методе возникает необходимость использовать метод Ньютона. Имеем дело с общей задачей выпуклой оптимизации:

$$\begin{aligned} \min_{x \in \mathbb{R}^n} f_0(x) \\ \text{s.t. } f_i(x) \leq 0 \quad i = 1, \dots, m \end{aligned}$$

Где $f_i(x) = A_{(i, :)}^\top x$ — скалярное произведение i -ой строки матрицы A на вектор x .

Избавимся от ограничений типа неравенств с помощью индикаторов, переходя к задаче неограниченной оптимизации:

$$\begin{aligned} \min \Psi(x) &:= f_0(x) + \sum_{i=1}^m -t \log(-f_i(x)) \\ \text{s.t. } Ax &= b, \end{aligned}$$

- Задача по-прежнему **выпуклая**
- Функция

$$\phi(x) = - \sum_{i=1}^m \log(-f_i(x)) = - \sum_{i=1}^m \log(-(Ax - b)_i)$$

называется *логарифмическим барьером*. Её область определения - множество точек, где ограничения типа неравенств выполняются строго.

Вспомним, какой вид имеют градиент и гессиан барьерной функции:

$$\begin{aligned} \nabla \phi(x) &= - \sum_{i=1}^m \frac{\nabla f_i(x)}{f_i(x)} \quad \nabla^2 \phi(x) = \sum_{i=1}^m \frac{\nabla f_i(x) \nabla f_i(x)^\top}{f_i(x)^2} - \frac{\nabla^2 f_i(x)}{f_i(x)} \\ \nabla f_i(x) &= A_{(i, :)} \quad \nabla^2 f_i(x) = 0 \\ \nabla \phi(x) &= \sum_{i=1}^m \frac{A_{(i, :)}}{(b - Ax)_i} = A^\top \text{diag}^{-1}(b - Ax) \cdot \mathbf{1}^m \\ \nabla^2 \phi(x) &= \sum_{i=1}^m \frac{A_{(i, :)}^\top}{(b - Ax)_i} \frac{A_{(i, :)}}{(b - Ax)_i} = (A^\top \text{diag}^{-1}(b - Ax))(A^\top \text{diag}^{-1}(b - Ax))^\top \\ &= A^\top (\text{diag}^{-2}(b - Ax)) A \end{aligned}$$

Я постарался максимально векторизовать формулы, но пока непонятно, станет ли от этого легче.

Т.к. целевая функция выпуклая, будем искать её минимум среди стационарных точек, которые найдём методом Ньютона:

$$\begin{aligned}\Psi'(x^*(t)) &= f'_0(x^*(t)) + t\phi'(x^*(t)) = \\ &= x^*(t) + c + t \sum_{i=1}^m \frac{A_{(i,:)}}{(b - Ax)_i} = \\ &= x^*(t) + c + t \cdot A^\top \text{diag}^{-1}(b - Ax) \cdot \mathbf{1}^m\end{aligned}$$

$$\begin{aligned}\Psi''(x^*(t)) &= f''_0(x^*(t)) + t\phi''(x^*(t)) = \\ &= I_n + t \sum_{i=1}^m \frac{A_{(i,:)}A_{(i,:)}^\top}{(b - Ax)_i^2} = \\ &= I_n + t \cdot A^\top (\text{diag}(b - Ax))^{-2} A\end{aligned}$$

Шаг метода Ньютона для градиента запишется так:

$$\begin{aligned}x_{n+1}(t) &= x_n(t) - (\Psi''(x(t)))^{-1} \Psi'(x(t)) = \\ &= x_n(t) - (I_n + t \cdot A^\top (\text{diag}(b - Ax_n(t)))^{-2} A)^{-1} \cdot (x_n(t) + c + t \cdot A^\top \text{diag}^{-1}(b - Ax_n(t)) \cdot \mathbf{1}^m)\end{aligned}$$

Теперь его вычисление нужно как-то разумно оптимизировать в зависимости от структуры матрицы A .

Вид гессияна кажется подозрительно знакомым, и это неспроста: для его обращения можно применить формулу Шермана-Моррисона-Вудберри, которую мы доказывали в домашнем задании!

Для краткости введём обозначение $\Lambda := \text{diag}(\mathbf{b} - \mathbf{A}\mathbf{x}_n(t))$.

$$\begin{aligned}(\mathbf{A} + \mathbf{UCV})^{-1} &= \mathbf{A}^{-1} - \mathbf{A}^{-1}\mathbf{U}(\mathbf{C}^{-1} + \mathbf{VA}^{-1}\mathbf{U})^{-1}\mathbf{VA}^{-1} \\ \mathbf{A} &\in \mathbb{R}^{n \times n}, \mathbf{U} \in \mathbb{R}^{n \times m}, \mathbf{C} \in \mathbb{R}^{m \times m}, \mathbf{V} \in \mathbb{R}^{m \times n} \\ \mathbf{A} &= \mathbf{I}_n, \mathbf{U} = \mathbf{A}^\top, \mathbf{C} = t \cdot \Lambda^{-2}, \mathbf{V} = \mathbf{A} \\ (I_n + \cdot A^\top t \cdot \Lambda^{-1} A)^{-1} &= \mathbf{I}_n - \mathbf{A}^\top (t^{-1} \Lambda^2 + \mathbf{AA}^\top)^{-1} \mathbf{A}\end{aligned}$$

Всегда ли она позволяет улучшить асимптотику по сравнению с обычным методом Гаусса?

Рассмотрим два случая и в каждом явно вычислим асимптотику каждого шага:

1. $m \ll n$:

- $t^{-1}\Lambda^2 = O(m)$
- $\mathbf{A}\mathbf{A}^\top = O(m^2n)$
- $t^{-1} \cdot \Lambda^2 + \mathbf{A}\mathbf{A}^\top = O(m^2)$
- $(t^{-1}\Lambda^2 + \mathbf{A}\mathbf{A}^\top)^{-1} = O(m^3)$
- $\mathbf{I}_n + \mathbf{A}^\top (t^{-1}\Lambda^2 + \mathbf{A}\mathbf{A}^\top)^{-1} \mathbf{A} = O(nm^2 + n^2m) = O(n^2 + n^2m)$
- $(\mathbf{x}_n(t) + \mathbf{c} + t \cdot \mathbf{A}^\top \Lambda^{-1} \cdot \mathbf{1}^m) = O(nm)$
- $(\mathbf{I}_n + \mathbf{A}^\top (t^{-1}\Lambda^2 + \mathbf{A}\mathbf{A}^\top)^{-1} \mathbf{A}) (\mathbf{x}_n(t) + \mathbf{c} + t \cdot \mathbf{A}^\top \Lambda^{-1} \cdot \mathbf{1}^m) = O(n^2)$

Итоговая асимптотика — $O(n^2m)$

2. $n \ll m$

- Формула Шермана-Моррисона-Вудберри даёт асимптотику $O(m^3)$. Попробуем обратиться напрямую.
- $\mathbf{A}^\top t \cdot \Lambda^{-1} \mathbf{A} = O(nm^2 + m^2n)$
- $\mathbf{I}_n + \mathbf{A}^\top t \cdot \Lambda^{-1} \mathbf{A} = O(n^2)$
- $(\mathbf{I}_n + \mathbf{A}^\top t \cdot \Lambda^{-1} \mathbf{A})^{-1} = O(n^3)$

Итоговая асимптотика — $O(m^2n)$

Вывод: один шаг метода Ньютона осуществим за $O(H^2L)$, где $H := \max\{n, m\}$, $L := \min\{n, m\}$.

Подбирать метод следует на основе структуры матрицы \mathbf{A} .

```
In [125]: %%time
m = 7
n = 11
for _ in range(10000):
    A = np.random.rand(m, n)
    b = np.random.rand(m, 1)
    x = np.random.rand(n, 1)
    r = b - A @ x
    assert np.allclose(np.sum(np.column_stack([A[i, :] / r[i] for i in range(m)]), axis=1),
                        np.ravel(A.T @ np.linalg.inv(np.diagflat(r)) @ np.ones((m, 1))))
    assert np.allclose(np.sum(np.dstack([A[i, :].reshape(n, 1) @ A[i, :].reshape(1, n) / (r[i]**2)
                                         for i in range(m)]), axis=-1),
                        (A.T @ np.linalg.inv(np.diagflat(r))) @ ((A.T @ np.linalg.inv(np.diagflat(r))))).T)
```

CPU times: user 10.9 s, sys: 18 s, total: 28.8 s
 Wall time: 4.26 s

Задача 2

Для задачи

$$\begin{aligned} \min_{x \in \mathbb{R}} x^2 + 1 \\ \text{s.t. } 2 \leq x \leq 4 \end{aligned}$$

найти аналитически решение x^* . Нарисовать на одном графике $f_0(x)$ и $f_0(x) + t\phi(x)$ для 4 значений $t > 0$, которые монотонно убывают к 0. Покажите на графике $x^*(t)$ для каждого значения t .

Задача выпуклая, стационарная точка единственная и лежит в допустимой области: $x^* = 2$.

Визуализация:

```

In [55]: def objective(x, t):
            return x**2 + 1 - t * (np.log(x - 2) + np.log(4 - x))

sns.set(font_scale=1.5, style="darkgrid")
plt.figure(figsize=(10, 8))

stars_x = []
stars_f = []

t_list = 2. ** np.arange(4, -3, -1)
colors = ['red', 'orange', 'yellow', 'green',
          'xkcd:sky blue', "blue", "purple"]
x_ast_t = []
grid = np.arange(2.01, 3.99, 0.02)

for t, c in zip(t_list, colors):
    vals = functools.partial(f, t=t)(grid)
    argmin = np.argmin(vals)
    x_ast_t.append([grid[argmin], vals[argmin]])
    plt.plot(grid, vals, color=c, label='t={}'.format(t), alpha=0.8, zorder=1)

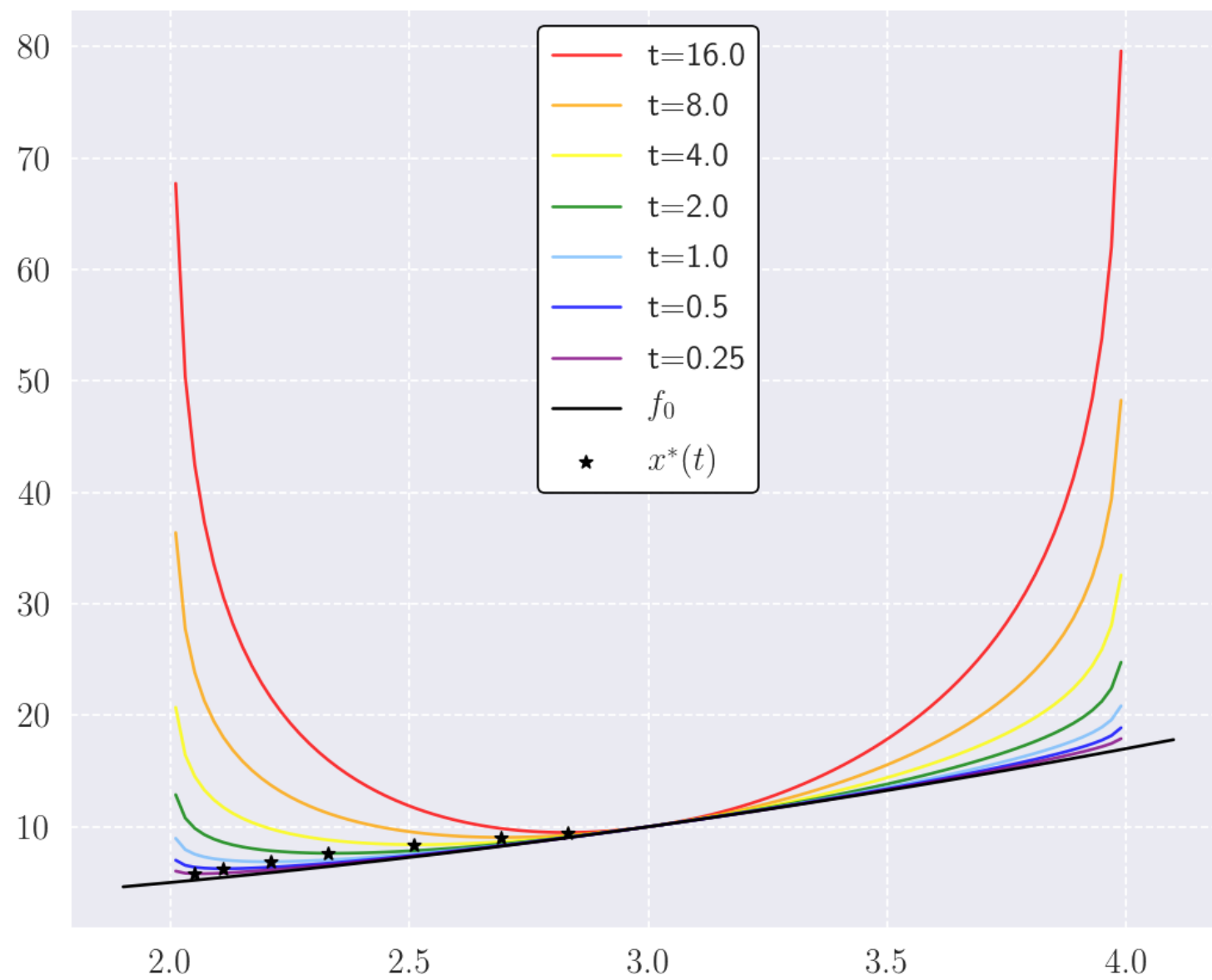
grid = np.linspace(1.9, 4.1, 1000)
x_ast_t = np.vstack(x_ast_t)

plt.plot(grid, grid**2 + 1, color = 'black', alpha=1, label=r'$f_0$')
plt.scatter(x_ast_t[:, 0], x_ast_t[:, 1], label=r"$x^{*}(t)$",
            marker='*', c='black', s=40, zorder=2)
plt.grid(linestyle='--')

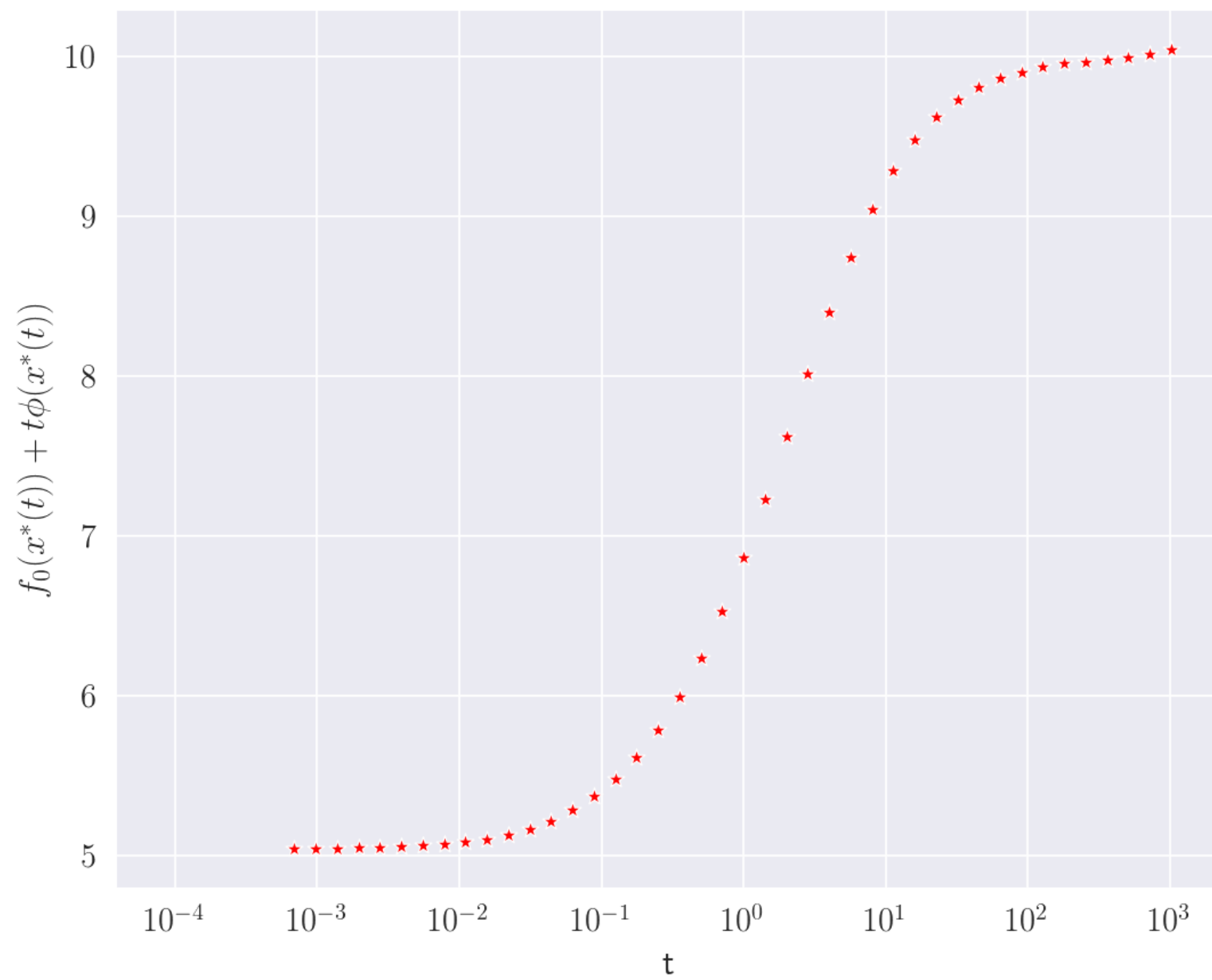
legend = plt.legend()
frame = legend.get_frame()
frame.set_facecolor("white")
frame.set_edgecolor("black")
frame.set_alpha(1)
plt.title(r'Barrier method: $\min\limits_{\{x\}} f_0(x) + t\phi(x)$')
plt.show()

```


Barrier method: $\min_x f_0(x) + t\phi(x)$




```
In [95]: grid = np.arange(2.01, 3.99, 0.02)
t = 2. ** np.arange(10, -11, -0.5)
vals = f(grid, t.reshape(-1, 1))
argmins = np.argmin(vals, axis=1)
plt.figure(figsize=(10, 8))
sns.scatterplot(t, [vals[i, argmins[i]] for i in range(vals.shape[0])],
                marker="*", s=80, color="red")
plt.xscale("log")
plt.xlabel("t");
plt.ylabel(r"$f_{0}(x^{*}(t)) + t \ \phi(x^{*}(t))$");
```

Задача 3

Вместо логарифмического барьера можно использовать другие функции, аппроксимирующие $I_-(x)$. Предлагается проанализировать использование барьерной функции вида $h(u) = -\frac{1}{u}$

1. Проверьте, будет ли выпукла «ограниченная» задача для барьера $h(u)$
2. Получите выражения для двойственных переменных $\lambda^*(t)$ и $\mu^*(t)$ и зазора двойственности при использовании барьера $h(u)$
3. Какими свойствами должна обладать барьерная функция, чтобы зазор двойственности зависел только от m и t ?

1. Барьер $h(u) = -\frac{1}{u}, u \leq 0$ и выпуклый $\implies h(f_i)$ выпукла.

$$f_0(x) + t \cdot \phi(x) = f_0(x) + t \sum_{i=1}^m h(f_i(x)) = f_0(x) - t \sum_{i=1}^m \frac{1}{f_i(x)}$$

выпукла как сумма выпуклых.

Все нелинейные ограничения уходят в целевую функцию, допустимое множество в ограниченной задаче выпукло (т.к. линейно).

1. Пусть $x^*(t)$ — оптимальное решение исходной задачи. Разрешимость прямой задачи:

$$Ax^*(t) = b, f_i(x^*) < 0, i = 1, \dots, m$$

Стационарность лагранжиана

$$\begin{aligned} \mathcal{L}(x(t), \mu) &= \nabla f_0(x) + t \cdot \phi(x) + \mu^\top (Ax - b) \\ \exists \hat{\mu} > 0 : \nabla \mathcal{L}(x^*(t), \hat{\mu}) &= \nabla f_0(x^*(t)) + \nabla \phi(x^*(t)) + A^\top \hat{\mu} = \\ &= \nabla f_0(x^*(t)) + t \cdot \sum_{i=1}^m h'(f_i(x^*(t))) \nabla f_i(x^*(t)) + A^\top \hat{\mu} = 0 \\ \lambda_i^* &= t \cdot \frac{\partial h(f_i(x^*(t)))}{\partial f_i} = \frac{t}{f_i^2(x^*(t))}, \mu^* = \hat{\mu} \\ f_0(x^*(t)) &= \sum_{i=1}^m f_i(x^*(t)) \lambda_i^* + (\mu^*)^\top (Ax - b) \end{aligned}$$

Соотв. значение двойственной функции (тоже с семинара):

$$g(\lambda^*(t), \mu^*) = f_0(x^*(t)) + \sum_{i=1}^m \lambda_i^*(t) f_i(x^*(t)) + (\mu^*)^\top (Ax^*(t) - b)$$

$x^*(t)$ допустимо $\implies Ax^*(t) = b, f_i(x^*(t)) < 0$, тогда зазор двойственности принимает вид:

$$\begin{aligned} f_0(x^*(t)) - g(\lambda^*(t), \mu^*) &= - \sum_{i=1}^m \frac{t}{f_i(x^*(t))} \\ - \sum_{i=1}^m \lambda_i^* \cdot f_i(x^*(t)) &= \sum_{i=1}^m \frac{-t}{f_i(x^*(t))} \geq 0 \end{aligned}$$

1. Убрать зависимость от всего, кроме t и m , можно только если $-uh'(u) = const$, т.е.

$$h'(u) = -\frac{C_1}{u}$$

$$h(u) = C_1 \ln(-u) + C_2$$

При $C_1 < 0$ барьер будет выпуклым.

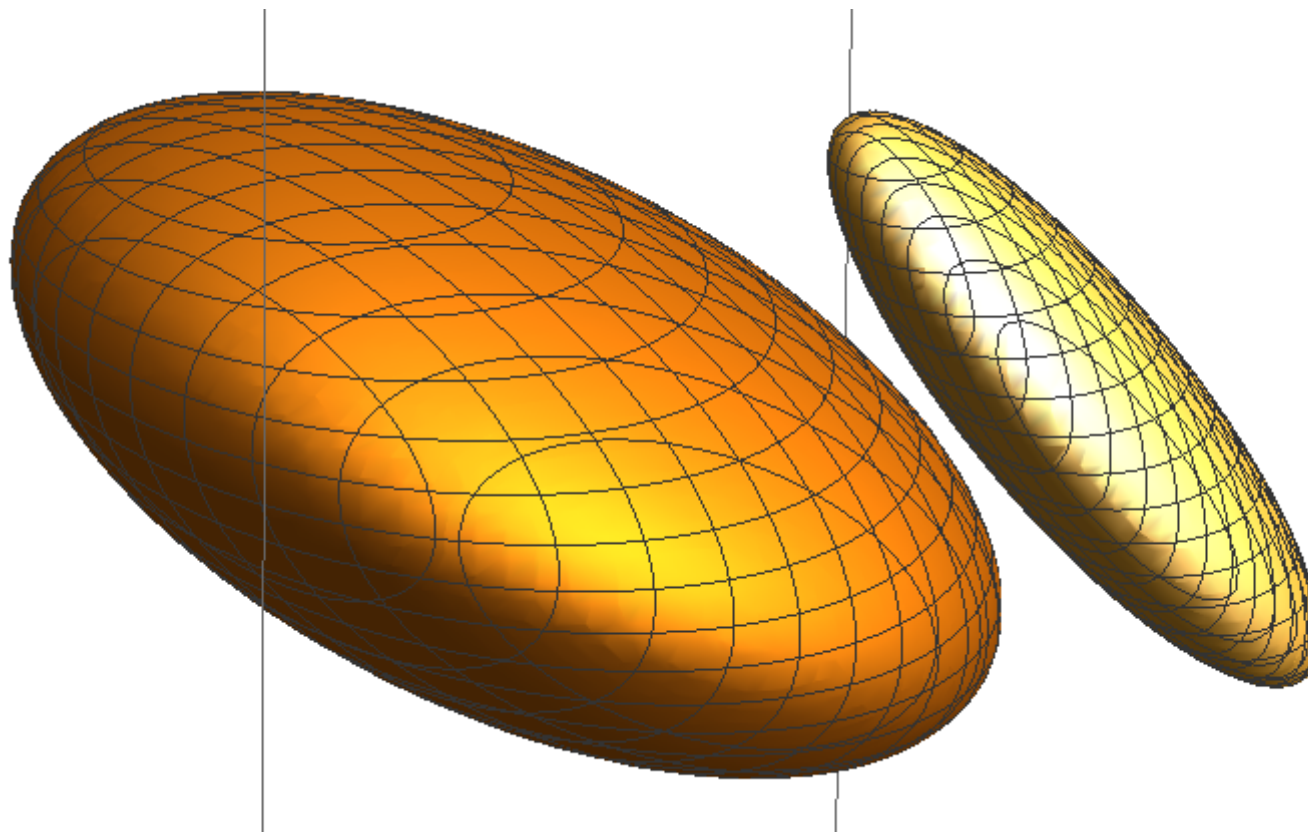
Задача 4:

Проверить, пересекаются ли два заданных эллипсоида, сформулировав задачу оптимизации в терминах SDP.

$$E_0 = \left\{ \mathbf{x} \in \mathbb{R}^3 \left| \mathbf{x}^\top \begin{pmatrix} 1/9 & 1/9 & 1/9 \\ 1/9 & 13/36 & 13/36 \\ 1/9 & 13/36 & 49/36 \end{pmatrix} \mathbf{x} \leq 1 \right. \right\}$$

$$E_1 = \left\{ \mathbf{x} \in \mathbb{R}^3 \left| \mathbf{x}^\top \begin{pmatrix} \sqrt{2} & \sqrt{2} & \sqrt{2} \\ \sqrt{2} & 2\sqrt{2} & 2\sqrt{2} \\ \sqrt{2} & 2\sqrt{2} & 1 + 2\sqrt{2} \end{pmatrix} \mathbf{x} + \begin{pmatrix} -6\sqrt{2} \\ -10\sqrt{2} \\ -10\sqrt{2} \end{pmatrix}^\top \mathbf{x} \leq 1 - 13\sqrt{2} \right. \right\}$$

Решение: К счастью, задача допускает визуализацию, потому ответ можно узнать в самом начале, построив график в любом матпакете:



Видим, что эллипсоиды не пересекаются. Естественно, уже в размерности 4 строить графики затруднительно, зато можно решать задачу оптимизации. Теперь нужно её грамотно сформулировать:

Сформулируем вначале задачу в самом простом виде: с квадратичной целевой функцией и квадратичными же ограничениями. Её можно решать, к примеру, барьерным методом. Вид, в котором заданы фигуры, намекает на такую постановку задачи:

$$\begin{aligned} \min_{\mathbf{x} \in \mathbb{R}^3} \quad & \mathbf{x}^\top \mathbf{A}_0 \mathbf{x} + 2\mathbf{b}_0^\top \mathbf{x} + \mathbf{c}_0 \\ \text{s.t.} \quad & \mathbf{x}^\top \mathbf{A}_1 \mathbf{x} + 2\mathbf{b}_1^\top \mathbf{x} + \mathbf{c}_1 \leq 0 \end{aligned}$$

Где в целевой функции и ограничениях записаны квадратичные формы, задающие поверхность эллипса.

Очевидно, что минимум будет ≤ 0 тогда и только тогда, когда эллипсоиду пересекаются: если точка принадлежит эллипсоиду, то ассоциированная квадратичная форма ≤ 0 в этой точке. Для одного это условие закодировано в ограничениях, потому должно выполняться для второго.

Скормим задачу cvxpy и посмотрим, что получится.

```
In [19]: E0, E1 = {}, {}
E0["A"] = np.matrix(
    [[1/9, 1/9, 1/9],
     [1/9, 13/36, 13/36],
     [1/9, 13/36, 49/36]]
)
E0["b"] = np.matrix("0; 0; 0")
E0["c"] = -1
E1["A"] = np.matrix(
    [[np.sqrt(2), np.sqrt(2), np.sqrt(2)],
     [np.sqrt(2), 2 * np.sqrt(2), 2 * np.sqrt(2)],
     [np.sqrt(2), 2 * np.sqrt(2), 2 * np.sqrt(2) + 1]]
)
E1["b"] = np.matrix(
    [[-3 * np.sqrt(2)],
     [-5 * np.sqrt(2)],
     [-5 * np.sqrt(2)]]
)
E1["c"] = 13 * np.sqrt(2) - 1
```

```
In [20]: x = cvx.Variable(3)
A0 = cvxopt.matrix(E0["A"])
b0 = cvxopt.matrix(E0["b"])
c0 = cvx.Constant(E0["c"])
A1 = cvxopt.matrix(E1["A"])
b1 = cvxopt.matrix(E1["b"])
c1 = cvx.Constant(E1["c"])
quad_obj = cvx.quad_form(x, A0) + 2 * b0.T * x + c0
quad_constr = [cvx.quad_form(x, A1) + 2 * b1.T * x + c1 <= 0]
quad_prob = cvx.Problem(cvx.Minimize(quad_obj), quad_constr)
```

```
In [21]: quad_prob.solve(verbose=True)
```

ECOS 2.0.4 - (C) embotech GmbH, Zurich Switzerland, 2012-15. Web: www.embotech.com/ECOS

It	pcost	dcost	gap	pres	dres	k/t	mu	step	sigma	IR			BT	
0	+2.559e-17	+1.701e+00	+2e+01	3e-01	3e-01	1e+00	3e+00	---	---	1	1	-	-	-
1	+8.553e-02	+4.703e-01	+3e+00	5e-02	4e-02	3e-01	6e-01	0.8076	3e-02	1	1	1	0	0
2	+6.054e-01	+8.893e-01	+1e+00	2e-02	2e-02	2e-01	2e-01	0.9106	3e-01	2	2	2	0	0
3	+1.018e+00	+1.063e+00	+8e-02	3e-03	2e-03	4e-02	2e-02	0.9418	3e-02	2	2	2	0	0
4	+1.103e+00	+1.118e+00	+2e-02	8e-04	5e-04	1e-02	4e-03	0.9372	2e-01	2	2	2	0	0
5	+1.129e+00	+1.130e+00	+2e-03	7e-05	4e-05	1e-03	4e-04	0.9213	1e-03	2	1	1	0	0
6	+1.131e+00	+1.131e+00	+2e-04	9e-06	5e-06	1e-04	4e-05	0.9064	4e-02	2	1	1	0	0
7	+1.132e+00	+1.132e+00	+9e-06	4e-07	2e-07	5e-06	2e-06	0.9611	3e-03	3	1	1	0	0
8	+1.132e+00	+1.132e+00	+7e-07	3e-08	2e-08	3e-07	1e-07	0.9890	7e-02	2	1	1	0	0
9	+1.132e+00	+1.132e+00	+7e-08	3e-09	2e-09	3e-08	1e-08	0.9106	6e-03	3	1	1	0	0
10	+1.132e+00	+1.132e+00	+1e-08	5e-10	3e-10	6e-09	3e-09	0.8051	5e-03	1	1	1	0	0
11	+1.132e+00	+1.132e+00	+4e-09	2e-10	9e-11	2e-09	9e-10	0.7628	9e-02	2	1	1	0	0

OPTIMAL (within feastol=2.0e-10, reltol=3.8e-09, abstol=4.3e-09).
Runtime: 0.000434 seconds.

```
Out[21]: 0.13158339105842987
```

cvxру подтверждает: эллипсоиды не пересекаются. Теперь переформулируем задачу на языке SDP, как на семинаре:

- Рассмотрим такую задачу

$$\begin{aligned} \min f_0(x) \\ \text{s.t. } f_1(x) \leq 0, \end{aligned}$$

где $f_i(x) = x^\top A_i x + 2b_i^\top x + c_i$

- Для получения SDP задачи, которая даёт оценку снизу на решение исходной задачи запишем $f_i(x)$ в таком виде

$$f_i(x) = \begin{bmatrix} x \\ 1 \end{bmatrix}^\top \begin{bmatrix} A_i & b_i \\ b_i^\top & c_i \end{bmatrix} \begin{bmatrix} x \\ 1 \end{bmatrix} \leq 0$$

- Теперь проанализируем решение следующей задачи

$$\begin{aligned} \max t \\ \text{s.t. } \tau \geq 0 \\ \begin{bmatrix} A_0 & b_0 \\ b_0^\top & c_0 - t \end{bmatrix} + \tau \begin{bmatrix} A_1 & b_1 \\ b_1^\top & c_1 \end{bmatrix} \succeq 0 \end{aligned}$$

- Пусть x допустимая точка в исходной задаче, а t, τ_1 допустимые точки для введённой задачи, тогда т.к. $f_1(x) \leq 0, \tau \geq 0$:

$$0 \leq \begin{bmatrix} x & 1 \end{bmatrix} \left(\begin{bmatrix} A_0 & b_0 \\ b_0^\top & c_0 - t \end{bmatrix} + \tau \begin{bmatrix} A_1 & b_1 \\ b_1^\top & c_1 \end{bmatrix} \right) \begin{bmatrix} x \\ 1 \end{bmatrix} = f_0(x) - t + \tau f_1(x) \leq f_0(x) - t$$

Отсюда $f_0(x) \geq t$, т.е. $\max t = \min f_0(x)$, задачи эквивалентны.

Теперь осталось понять, как она запишется в терминах cvxру:

```
In [22]: t = cvx.Variable()
tau = cvx.Variable()

f_i = [np.block([[E_i["A"], E_i["b"]],
                  [E_i["b"].T, E_i["c"]]])
        for E_i in [E0, E1]]

E_44 = np.zeros((4, 4))
E_44[-1, -1] = 1

sdp_constr = [tau >= 0,
              (-t * E_44 + cvxopt.matrix(f_i[0]))
              + tau * cvxopt.matrix(f_i[1]) >> 0]

sdp_obj = t
sdp_problem = cvx.Problem(cvx.Maximize(sdp_obj), sdp_constr)
```

```
In [23]: sdp_problem.solve(verbose=True)
```

```
-----
          SCS v2.0.2 - Splitting Conic Solver
          (c) Brendan O'Donoghue, Stanford University, 2012-2017
-----
Lin-sys: sparse-indirect, nnz in A = 12, CG tol ~ 1/iter^(2.00)
eps = 1.00e-05, alpha = 1.50, max_iters = 5000, normalize = 1, scale = 1.00
acceleration_lookback = 20, rho_x = 1.00e-03
Variables n = 2, constraints m = 11
Cones:  linear vars: 1
        sd vars: 10, sd blks: 1
Setup time: 2.04e-03s
-----
  Iter | pri res | dua res | rel gap | pri obj | dua obj | kap/tau | time (s)
-----
    0 | 4.39e+00 | 7.89e+01 | 4.75e-01 | 2.90e+00 | 9.06e+00 | 0.00e+00 | 1.93e-02
   80 | 6.20e-07 | 2.94e-06 | 2.02e-06 | -1.32e-01 | -1.32e-01 | 2.07e-15 | 2.12e-02
-----
Status: Solved
Timing: Solve time: 2.12e-02s
        Lin-sys: avg # CG iterations: 1.47, avg solve time: 2.38e-04s
        Cones: avg projection time: 6.52e-06s
        Acceleration: avg step time: 1.32e-06s
-----
Error metrics:
dist(s, K) = 0.0000e+00, dist(y, K*) = 2.0961e-09, s'y/|s||y| = 9.1846e-11
primal res: |Ax + s - b|_2 / (1 + |b|_2) = 6.1966e-07
dual res:   |A'y + c|_2 / (1 + |c|_2) = 2.9419e-06
rel gap:    |c'x + b'y| / (1 + |c'x| + |b'y|) = 2.0180e-06
-----
c'x = -0.1316, -b'y = -0.1316
=====
```

```
Out[23]: 0.1315786595859687
```

Ура! Ответы совпали, эллипсы не пересекаются.

Задача 5

Пусть известны координаты N точек x_1, \dots, x_N на плоскости. Поставьте задачу полуопределённого программирования для поиска точки на плоскости, максимальное евклидово расстояние от которой до точек x_1, \dots, x_N было бы минимально. Найдите такую точку, если точки x_i – это города Афины, Москва, Берлин, Копенгаген, Прага и Варшава, а Европа расположена на плоскости.

Решение: Задачу оптимизации запишется так:

$$\min_{x \in \mathbb{R}^2} \max_{i=1 \dots N} \|x - x_i\|_2^2$$

Квадраты можно навешивать, поскольку это ни на что не влияет. Такая задача допускает эквивалентную переформулировку:

$$\begin{aligned} \min_{x, a} \\ \text{s.t. } \|x - x_i\|_2^2 \leq a^2, \quad i = 1 \dots N \\ a \geq 0 \end{aligned}$$

В самом деле: если максимум $\leq a$, то остальные и подавно, потому минимальное a и даст ответ.

А это уже практически SDP-задача, нужно только немного ограничения привести в матричный вид.

Причём заметим, что это, по сути, задача об окружности минимального радиуса, содержащей все данные точки.

Точно такую же задачу, только в общем случае — для эллипсоидов в n -мерном пространстве — мы разбирали на семинаре.

Вспоминаем, что сфера это тоже эллипс, сводим задачу к предыдущей. Цитирую семинар:

Эллипс можно задать аффинным преобразованием:

$$\{x \mid \|x\|_2^2 \leq 1\} \rightarrow \{u \mid \|u\|_2^2 \leq 1, u = Ax + b\}$$

Тогда площадь увеличивается в $\det(A^{-1})$ раз.

- Детерминант не является выпуклой/вогнутой функцией
- $\log \det(A^{-1}) = -\log \det(A)$ - выпуклая функция при $A \in \mathbb{S}_{++}^n$

В данном случае эллипс имеет вид

$$\frac{(x^{(1)} - x_*^{(1)})^2}{a^2} + \frac{(x^{(2)} - x_*^{(2)})^2}{a^2} \leq 1$$

где x_* — оптимальное положение центра, a — радиус шара — неизвестные параметры. Отсюда

$$A = \text{diag}(a^{-1}), \quad b = -x_*/a, \quad -\log \det A = -\log a^{-2} = 2 \log a$$

И если в общем виде задача оптимизации в SDP-записи имеет такой вид:

$$\begin{aligned} \min_{A,b} & -\log \det(A) \\ \text{s.t. } & \|Ax_i + b\|_2 \leq 1 \\ & A \succ 0 \end{aligned}$$

То в этом частном случае она имеет вид:

$$\begin{aligned} \min_{x,a} & a^2 \\ \text{s.t. } & \|x_i - x\|_2^2 \leq a^2 \\ & a > 0 \end{aligned}$$

Убрать логарифм можно, т.к. это монотонно возрастающая функция, параметр масштаба из-под нормы выносится. Значит, естественная формулировка задачи и есть её формулировка в SDP в смысле семинара, чтд.

Ограничение на норму можно переписать в матричном виде. Для этого нужны два утверждения:

1. При условии обратимости подматрицы D определитель блочно-диагональной матрицы записывается в виде:

$$\det \begin{bmatrix} A & B \\ C & D \end{bmatrix} = \det(A - BD^{-1}C) \det(D)$$

Этот факт известен из курса линейной алгебры.

2. Ограничение вида $(Ax + b)^\top (Ax + b) - c^\top x - d \leq 0$ допускает матричную запись вида:

$$\begin{bmatrix} I & Ax + b \\ (Ax + b)^\top & c^\top x + d \end{bmatrix} \succeq 0$$

Эквивалентность доказывается с помощью критерия Сильвестра: все миноры, кроме последнего, > 0 по очевидным причинам, а последний имеет нужный вид по формуле выше.

В данном частном случае:

$$\begin{aligned} A &= \text{diag}(a^{-1}) \\ b &= -x / a \\ c &= 0 \\ d &= 1 \end{aligned}$$

$$\begin{aligned} \min_{x,a} \quad & a \\ \text{s.t.} \quad & \begin{bmatrix} I_2 & a^{-1}(x_i - x) \\ a^{-1}(x_i - x)^\top & 1 \end{bmatrix} \succeq 0 \\ & a > 0 \end{aligned}$$

Итого получаем N матричных ограничений. Их можно склеить в одну большую блочно-диагональную матрицу. Всё по той же формуле для определителя блочной матрицы можно показать по индукции, что положительная определённость матрицы из **таких** (их структура существенна!) блоков эквивалентна положительной определённости каждого из блоков. Если так сделать, то получится честная SDP-запись, но **зачем**.

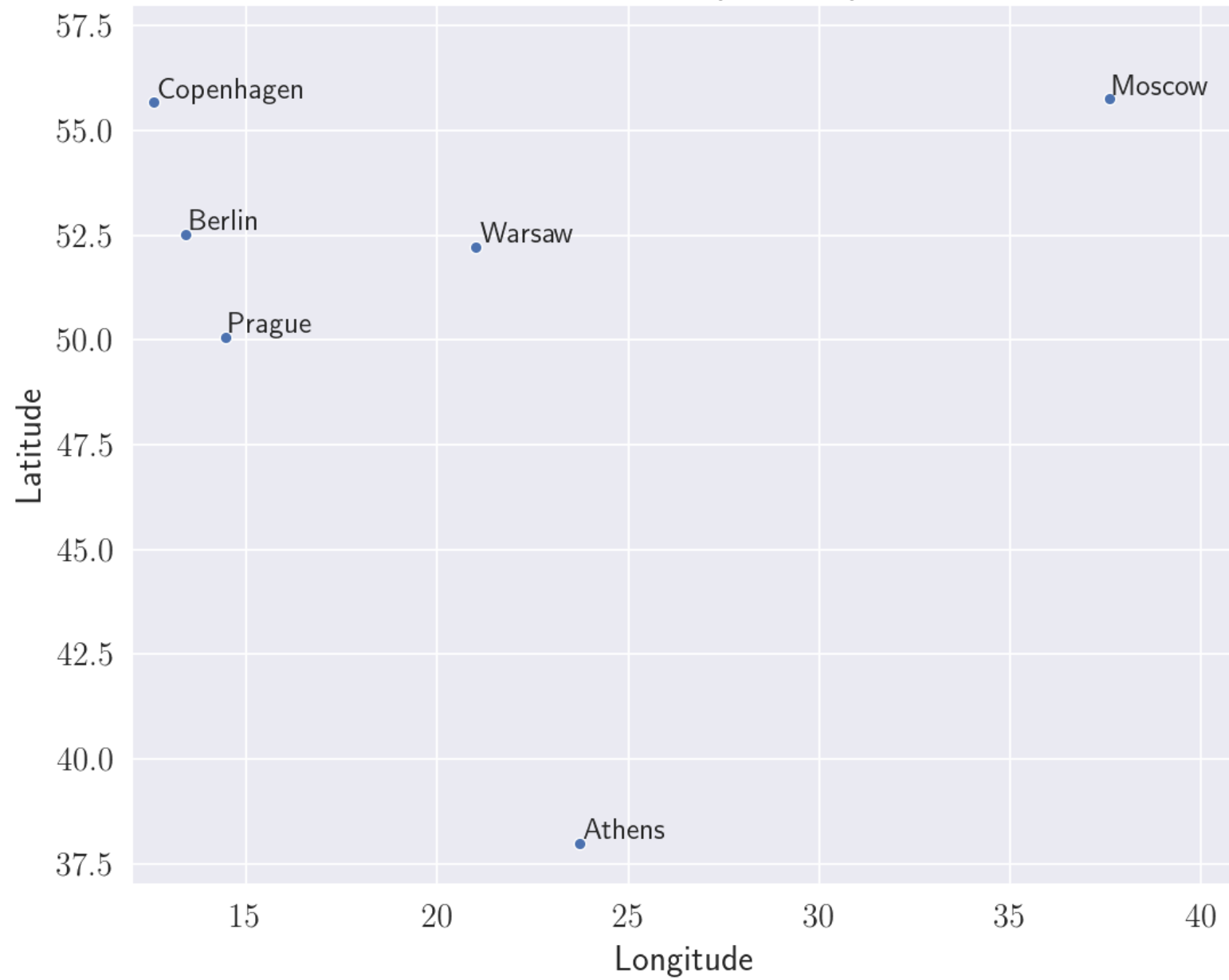
```
In [24]: labels = ["Athens", "Moscow", "Berlin", "Copenhagen", "Prague", "Warsaw"]
X = np.matrix(
    [[37.9838, 23.7275], # Афины
     [55.7558, 37.6173], # Москва
     [52.5200, 13.4050], # Берлин
     [55.6761, 12.5683], # Копенгаген
     [50.0755, 14.4378], # Прага
     [52.2297, 21.0122]] # Варшава
)
N = X.shape[0]
```

Научимся строить эти точки на графике: потом это пригодится.

```
In [25]: def draw_cities_on_the_map(points, labels, special_points=None, sp_labels=None):
plt.figure(figsize=(10,8))
plt.title("Cities on the map of Europe")
sns.set(font_scale=1.5)
ax = sns.scatterplot(x=np.ravel(points[:, 1]), y=np.ravel(points[:, 0]))
for i in range(points.shape[0]):
    point = np.ravel(points[i, :])
    plt.text(point[1] + .1, point[0] + .1, labels[i], fontsize=15)
if special_points is not None:
    for i in range(len(special_points)):
        sp = special_points[i]
        sns.scatterplot([sp[1]], [sp[0]], color="red")
        plt.text(sp[1] + .1, sp[0] + .1, sp_labels[i], fontsize=15)
        lines = [(sp[1], sp[0]),
                  (points[i, 1], points[i, 0])]
        for i in range(points.shape[0]):
            lc = mc.LineCollection(lines,
                                   colors="black",
                                   linewidths=0.5,
                                   linestyle='--')
        ax.add_collection(lc)
plt.xlim((12, 41))
plt.ylim((37, 58));
plt.xlabel("Longitude");
plt.ylabel("Latitude");
```

```
In [26]: draw_cities_on_the_map(X, labels)
```


Cities on the map of Europe



Опять-таки, попробуем вначале решить задачу по-простому: просто всунуть задачу в солвер в том виде, в каком она есть, без сведения к SDP:

```
In [27]: x = cvx.Variable(2)
a = cvx.Variable()

naive_obj = a
naive_constr = [a >= 0] + [cvx.norm(x - np.ravel(X[i, :]))**2 <= a for i in range(N)]
naive_prob = cvx.Problem(cvx.Minimize(naive_obj), naive_constr)

naive_prob.solve(verbose=True)
print(x.value)
print(naive_prob.value)

draw_cities_on_the_map(X, labels, [x.value], ["Min-max"])
assert np.isclose(naive_prob.value, np.max([np.linalg.norm(X[i, :] - x.value)**2 for i in range(N)]))
```

It	pcost	dcost	gap	pres	dres	k/t	mu	step	sigma	IR			BT	
0	+4.007e-17	-1.934e+00	+2e+02	3e-01	1e+00	1e+00	8e+00	---	---	1	1	-	-	-
1	+5.011e+01	+5.778e+01	+4e+01	4e-01	2e+00	1e+01	2e+00	0.9533	2e-01	1	1	1	0	0
2	+4.854e+01	+6.114e+01	+3e+01	3e-01	9e-01	1e+01	1e+00	0.5922	4e-01	1	1	1	0	0
3	+7.795e+01	+8.193e+01	+5e+00	5e-02	2e-01	4e+00	2e-01	0.8721	6e-02	1	1	1	0	0
4	+9.506e+01	+1.005e+02	+3e+00	5e-02	1e-01	6e+00	2e-01	0.5969	4e-01	2	1	1	0	0
5	+1.270e+02	+1.301e+02	+8e-01	2e-02	4e-02	3e+00	4e-02	0.8165	9e-02	2	1	1	0	0
6	+1.334e+02	+1.371e+02	+6e-01	2e-02	4e-02	4e+00	3e-02	0.4130	5e-01	2	1	2	0	0
7	+1.565e+02	+1.579e+02	+1e-01	5e-03	1e-02	1e+00	8e-03	0.8549	1e-01	2	1	1	0	0
8	+1.616e+02	+1.630e+02	+1e-01	5e-03	8e-03	1e+00	5e-03	0.4845	4e-01	3	2	2	0	0
9	+1.739e+02	+1.741e+02	+1e-02	8e-04	1e-03	3e-01	8e-04	0.8914	4e-02	2	2	2	0	0
10	+1.761e+02	+1.762e+02	+5e-03	2e-04	4e-04	9e-02	2e-04	0.8305	2e-01	2	1	1	0	0
11	+1.770e+02	+1.770e+02	+4e-04	2e-05	3e-05	7e-03	2e-05	0.9239	8e-04	1	1	1	0	0
12	+1.771e+02	+1.771e+02	+6e-05	3e-06	4e-06	1e-03	3e-06	0.9439	1e-01	2	1	1	0	0
13	+1.771e+02	+1.771e+02	+7e-06	3e-07	5e-07	1e-04	3e-07	0.8877	3e-03	2	1	1	0	0
14	+1.771e+02	+1.771e+02	+1e-06	7e-08	1e-07	3e-05	7e-08	0.9223	1e-01	2	1	1	0	0
15	+1.771e+02	+1.771e+02	+2e-07	8e-09	1e-08	3e-06	8e-09	0.8829	3e-03	3	1	1	0	0
16	+1.771e+02	+1.771e+02	+3e-08	2e-09	2e-09	6e-07	1e-09	0.9274	1e-01	2	1	1	0	0

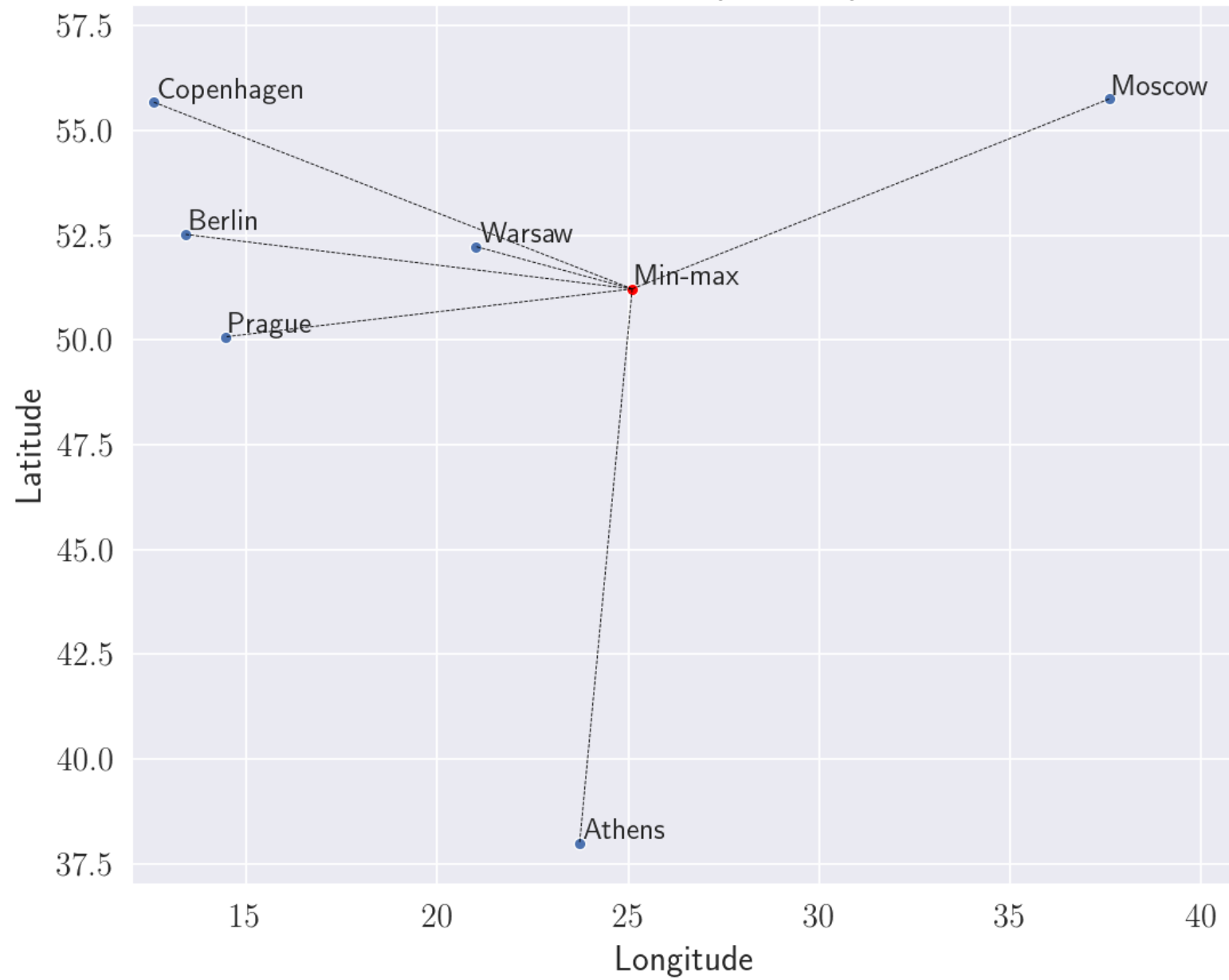
OPTIMAL (within feastol=2.2e-09, reltol=1.5e-10, abstol=2.7e-08).

Runtime: 0.000767 seconds.

[51.21938397 25.10710708]

177.08399378168693

Cities on the map of Europe



Построим интереса ради точку, которая минимизирует сумму расстояний — т.н. геометрическую медиану.

Задача именная — "о геометрической медиане набора точек".

$$\min_{x \in \mathbb{R}^2} \sum_{i=1}^N \|x - x_i\|_2$$

Она допускает такую переформулировку:

$$\begin{aligned} \min_{x, a} \sum_{i=1}^N a^{(i)} \\ \text{s.t. } \|x - x_i\|_2 \leq a^{(i)}, \quad i = 1 \dots N \\ a \succeq 0 \end{aligned}$$

Это уже хуже, чем было, потому что в терминах SDP она формулируется сложно (нужно поступать как в задаче 4, а тут N вспомогательных переменных). Здесь абсолютно аналогичное сведение к блочно-диагональной матрице, только теперь a_i могут быть различными.

```
In [28]: x = cvx.Variable(2)
a = cvx.Variable(N)

naive_obj = cvx.sum(a)
naive_constr = [a >= 0] + [cvx.norm(x - np.ravel(X[i, :])) <= a[i] for i in range(N)]
naive_prob = cvx.Problem(cvx.Minimize(naive_obj), naive_constr)
```

```
In [29]: naive_prob.solve(verbose=True)
print(x.value)
print(naive_prob.value)
```

ECOS 2.0.4 - (C) embotech GmbH, Zurich Switzerland, 2012-15. Web: www.embotech.com/ECOS

It	pcost	dcost	gap	pres	dres	k/t	mu	step	sigma	IR			BT	
0	+0.000e+00	-0.000e+00	+6e+01	3e-01	1e-02	1e+00	3e+00	---	---	1	1	-	-	-
1	+1.057e+01	+1.147e+01	+3e+01	2e-01	8e-03	2e+00	2e+00	0.6416	4e-01	1	1	1	0	0
2	+3.173e+01	+3.267e+01	+1e+01	1e-01	3e-03	1e+00	6e-01	0.7458	7e-02	1	1	1	0	0
3	+4.327e+01	+4.371e+01	+3e+00	4e-02	1e-03	6e-01	2e-01	0.7779	7e-02	1	1	1	0	0
4	+4.855e+01	+4.898e+01	+2e+00	3e-02	7e-04	5e-01	9e-02	0.6563	3e-01	1	1	1	0	0
5	+5.205e+01	+5.212e+01	+2e-01	5e-03	1e-04	8e-02	1e-02	0.8818	2e-02	1	1	1	0	0
6	+5.289e+01	+5.290e+01	+1e-02	2e-04	5e-06	4e-03	6e-04	0.9657	2e-02	1	1	1	0	0
7	+5.294e+01	+5.294e+01	+3e-04	8e-06	2e-07	1e-04	2e-05	0.9681	6e-04	1	1	1	0	0
8	+5.294e+01	+5.294e+01	+2e-05	4e-07	8e-09	7e-06	9e-07	0.9549	3e-03	1	1	1	0	0
9	+5.294e+01	+5.294e+01	+8e-07	2e-08	4e-10	3e-07	5e-08	0.9507	5e-04	2	1	1	0	0
10	+5.294e+01	+5.294e+01	+2e-07	4e-09	8e-11	7e-08	9e-09	0.8124	1e-02	1	1	1	0	0

OPTIMAL (within feastol=3.5e-09, reltol=3.1e-09, abstol=1.6e-07).

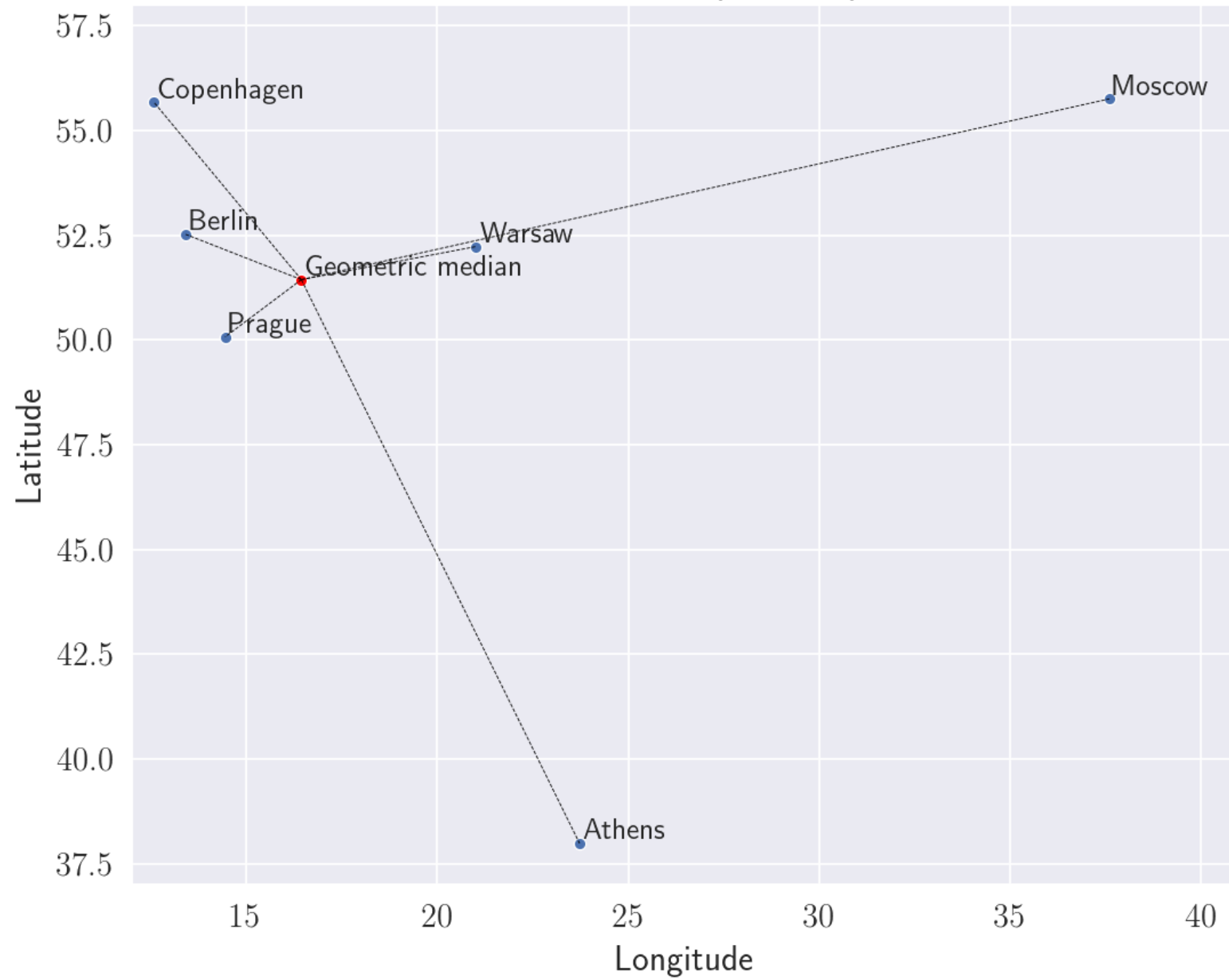
Runtime: 0.000370 seconds.

[51.44066025 16.43477405]

52.9385715412679

```
In [30]: draw_cities_on_the_map(X, labels, [x.value], ["Geometric median"])
         print(np.sum([np.linalg.norm(X[i, :] - x.value) for i in range(N)]))
```


Cities on the map of Europe



52.93857231740351